

Berichte des Technischen Prüfstandes Oppau

A 59

Bericht Nr. 524

Untersuchungen über das Klopfverhalten  
von Alkylbenzolen im  
BMW 132 – Überlademotor

9185

I. G. FARBENINDUSTRIE AKTIENGESELLSCHAFT  
LUDWIGSHAFEN AM RHEIN

## Gebetbuch

# Bericht des Technischen Prüfstandes Oppau

Nr. 524

## Untersuchung über das Klopfverhalten von Alkylbenzolen

im BMW 132 Überlademotor

Übersicht: Eine grosse Anzahl von Alkylbenzolen wurde im BMW 152-Einzylindermotor nach dem vereinfachten Überladeverfahren auf Klopfverhalten untersucht. Die Alkylbenzole waren vom Hochdruck (Dr.Bähr) mit gleichzeitiger Angabe von Motorleistung, Siedeverhalten, h/c-Verhältnis und Art des Katalysators für die Klopfuntersuchungen zur Verfügung gestellt worden. Die Ergebnisse lassen sich wie folgt zusammenfassen:

- 1.) Von den mit Schwefelsäure behandelten Alkybenzolen zeigen die Iso-Verbindungen ein besseres Klopfverhalten als die n-Verbindungen, bei Behandlung mit Aluminiumchlorid ist das Gegenteil der Fall.
  - 2.) In der Reihe Mono-, Di-, Tri- und Tetra-Äthylbenzol zeigt das Di-Äthylbenzol das günstigste Klopfverhalten. Bei der Propyl-Substitution weist das Tri-Propylbenzol den höchsten Klopfwert auf, d.h. die Überladbarkeit nimmt vom Mono- über das Di- zum Tri-Propylbenzol zu, beim Tetra-Propylbenzol ist sie dagegen wieder erheblich geringer.
  - 3.) Mit Ausnahme vom Äthyl- und Propylbenzol verschlechtert sich das Klopfverhalten bei den Alkybenzolen mit zunehmender Kohlenstoffatomzahl und der Siedetemperatur.

Abgeschlossen am: 21.November 1942 Gr.

Die vorliegende Ausfertigung enthält

**Bearbeiter:**

4 Textblätter

18 ВИЧИМОСТІ

## Verteller

Nr.	am	Empfänger	Nr.	am	Empfänger
1	21.1.43	Herrn Dr. med. v. S.			
2					
3					
4		Dr. E. R.			
5					
6					
7					
8-15					
8	2.8.43	mit Frau und Kindern			

Untersuchung über das Klopfverhalten

von Alkylbensolen

im BMW 132 - Überlademotor

Zweck der Versuche

Die Untersuchungen sollten darüber Aufschluss geben, wie sich die Überladbarkeit bei einer grossen Anzahl verschiedenartigster Alkylbensole mit der Herstellungweise, mit dem Siedeverhalten, mit der Art der Verzweigung usw. im BMW 132 - Einsylindermotor ändert. Es sollte ferner untersucht werden, ob sich auf Grund der Untersuchungsergebnisse bestimmte Gesetzmässigkeiten feststellen lassen.

Durchführung der Versuche

Die untersuchten Alkylbensole sind in der Zusammenstellung auf dem Schaublatt TPrS.2659 wiedergegeben.

Die Aufstellung enthält die Summenformel, den Siedeverlauf, den verwendeten Katalysator, die Anzahl der Kohlenstoffatome im Mol, die Art der Bindung und die Motoroktanzahlen der mit Eichbenzin IG 10 im Verhältnis 50:50 Vol-% verdünnten und mit 0,15 Vol-% DTA verbleiten Alkylbensole. Eingetragen sind ferner die Minima und die Neigungen der Wendepunktangenten der am BMW 132 - Einsylinder - Überlademotor nach dem vereinfachten Verfahren ermittelten Klopfgrenskurven. Die Klopfgrenskurven der untersuchten Alkylbensole sind gruppenweise in den Schaublättern TPrS.2635 bis 2644 wiedergegeben. Dabei muss darauf aufmerksam gemacht werden, dass ein Vergleich mit vorhergehenden Aromaten-Untersuchungen mit Rücksicht auf die Messgenauigkeit des DVL-Überladeverfahrens nur bedingt zulässig ist. Zudem wurde noch beobachtet, dass Unterschiede im Klopf-

verhalten von gleichen Proben nicht allein auf die Messgenauigkeit des Überladeverfahrens zurückgeführt werden dürfen, sondern dass auch die Proben unterschiedlich sein können, beispielsweise durch die Art der Herstellung und durch den Grad der Reinheit.

Dass die Motor-Oktanzahl bei gleichartigen Stoffen das Klopfverhalten in Übereinstimmung mit den Minima Nutzdrucken der Klopfkurven recht gut wiedergibt, geht aus dem Schaublatt TPrS.2653 hervor. Mit zunehmender Motor-Oktanzahl wächst auch die Überladbarkeit im BMW 132-Einzylindermotor. Die Abhängigkeit Motor-Oktanzahl und geringerer Nutzdruck ist für die beiden Katalysatoren Schwefelsäure und Aluminiumchlorid getrennt aufgestellt.

Den Einfluss der mittleren Siedetemperatur und der Anzahl der Kohlenstoff-Atome im Mol auf das Klopfverhalten zeigen die Schaublätter TPrS.2662 und 2649 bis 2652 in dreidimensionaler Darstellung. In das Schaublatt 2662 sind zunächst sämtliche Versuchspunkte der mit Aluminiumchlorid behandelten Alkylbenzole eingezzeichnet. Nach Schaublatt TPrS.2649 nimmt das Klopfverhalten mit steigender Anzahl der C-Atome im Mol und mit höherer mittl. Siedetemperatur sehr rasch ab, d.h. das Hexyl- bzw. Oktyl-Benzol weist gegenüber dem Äthylibenzol ein wesentlich schlechteres Klopfverhalten auf.

In den Reihen Mono-, Di-, Tri- und Tetra Äthylibenzol bzw. Propylbenzol zeigt das Di Äthylibenzol bzw. das Tri Propylbenzol das günstigste Klopfverhalten. In der Propylbenzolreihe nimmt beispielsweise die Überladbarkeit vom Mono- über das Di- bis zum Tri Propylbenzol zu und fällt dann beim Tetra Propylbenzol wieder ab (Schaublatt TPrS.2650).

Weitere Beispiele für die Verschlechterung des Klopfverhaltens der Alkylbenzole mit wachsender Anzahl der C-Atome im Mol und mit zunehmender Siedetemperatur sind in dem Schaublatt TPrS.2651 zusammengestellt. Es hat also das Di-iso- und das Tri-iso-Butylbenzol bzw. das Athyl-iso-, das Propyl-iso- und das Butyl-iso-Butylbenzol weniger klopfest als das Mono-iso-Butylbenzol. Wie aus dem Schaublatt TPrS.2652 hervorgeht, behalten die gemachten Beobachtungen auch dann Gültigkeit, wenn man anstelle von Aluminiumchlorid Schwefelsäure als Katalysator verwendet.

Im Schaublatt TPrS.2654 ist schliesslich noch die Neigung der Tangente im Wendepunkt der Klopfgrenzkurven einmal in Abhängigkeit von der Anzahl der C-Atome im Mol und das andere Mal in Abhängigkeit von dem Minimum der Klopfgrenzkurven wiedergegeben. Danach nimmt mit wachsender Kohlenstoff-Atomzahl die Neigung der Klopfgrenzkurventangenten ab, die Klopfgrenzkurven verlaufen also flacher. Da vorher gefunden wurde, dass mit zunehmender Kohlenstoff-Atomzahl das Minimum der Klopfgrenzkurven abfällt, könnte man zu dem Schluss kommen, dass die Klopfgrenzkurven, die ein geringeres Minimum aufweisen auch flacher verlaufen. Dass dies nicht unbedingt der Fall zu sein braucht, geht aus der unteren Darstellung auf Schaublatt TPrS.2654 hervor, wo das Klopfgrenzkurven-Minimum in Abhängigkeit von der Neigung der Wendpunktstangente aufgetragen ist. Es hat beispielsweise das Tri-Propylbenzol bei einem Höchstwert für das Minimum der Klopfgrenzkurve eine geringere Neigung als das Di- bzw. Mono-Propylbenzol.

Gruppe	Br. Nr.	Bezeichnung	Formel	Katalysator
III	2727	n-Butylbenzol	$n(C_6H_5)C_6H_5$	H <sub>2</sub> SO <sub>4</sub>
	2728	i-Butylbenzol	$i(C_6H_5)C_6H_5$	"
	2731	n-di-Butylbenzol	$n(C_6H_5)_2C_6H_4$	"
IV	2706	Hexylbenzol	$(C_6H_5)_2C_6H_5$	"
	2740	Octylbenzol	$(C_8H_{17})C_6H_5$	"
V	2723	Aethyl-Propylbenzol	$(C_2H_5)(C_3H_7)C_6H_6$	"
	2707	Aethyl-n-Butylbenzol	$(C_2H_5)n(C_6H_5)C_6H_6$	"
VI	2737	Aethyl-di-Propylbenzol	$(C_2H_5)(C_3H_7)_2C_6H_3$	"
	2715	Aethyl-di-n-Butylbenzol	$(C_2H_5)_2n(C_6H_5)C_6H_3$	"
VII	2710	Di-Aethyl-Propylbenzol	$(C_2H_5)_2(C_3H_7)C_6H_3$	"
	2736	Di-Aethyl-n-Butylbenzol	$(C_2H_5)_2n(C_6H_5)C_6H_3$	"
	2730	Di-Aethyl-i-Butylbenzol	$(C_2H_5)_2i(C_6H_5)C_6H_3$	"
	2766	Di-Aethyl-di-n-Butylbenzol	$(C_2H_5)_2n(C_6H_5)_2C_6H_2$	"
	2750	Di-Aethyl-di-i-Butylbenzol	$(C_2H_5)_2i(C_6H_5)_2C_6H_2$	"
VIII	2712	Propyl-n-Butylbenzol	$(C_3H_7)n(C_6H_5)C_6H_6$	"
	2709	Propyl-i-Butylbenzol	$(C_3H_7)i(C_6H_5)C_6H_6$	"
	2722	Propyl-di-n-Butylbenzol	$(C_3H_7)n(C_6H_5)_2C_6H_3$	"
	2721	Propyl-di-i-Butylbenzol	$(C_3H_7)i(C_6H_5)_2C_6H_3$	"
IX	2718	Di-Propyl-n-Butylbenzol	$(C_3H_7)_2n(C_6H_5)C_6H_3$	"
	2717	Di-Propyl-i-Butylbenzol	$(C_3H_7)_2i(C_6H_5)C_6H_3$	"
X	2734	n-Butyl-i-Butylbenzol	$n(C_6H_5)i(C_6H_5)C_6H_6$	"
	2733	i-Butyl-n-Butylbenzol	$i(C_6H_5)n(C_6H_5)C_6H_6$	"
	2748	i-Butyl-di-n-Butylbenzol	$i(C_6H_5)n(C_6H_5)_2C_6H_3$	"
	2749	n-Butyl-di-i-Butylbenzol	$n(C_6H_5)i(C_6H_5)_2C_6H_2$	"
I	2753	Aethylbenzol	$(C_2H_5)C_6H_5$	AlCl <sub>3</sub>
	2754	Di-Aethylbenzol	$(C_2H_5)_2C_6H_4$	"
	2755	Tri-Aethylbenzol	$(C_2H_5)_3C_6H_3$	"
	2742	Tetra-Aethylbenzol	$(C_2H_5)_4C_6H_2$	"
	2744	Tetra-Aethylbenzol	$(C_2H_5)_4C_6H_2$	"
	2745	Tetra-Aethylbenzol	$(C_2H_5)_4C_6H_2$	"
II	2756	Propylbenzol	$(C_3H_7)C_6H_5$	"
	2704	Di-Propylbenzol	$(C_3H_7)_2C_6H_4$	"
	2757	Tri-Propylbenzol	$(C_3H_7)_3C_6H_3$	"
	2771	Tri-Propylbenzol	$(C_3H_7)_3C_6H_3$	"
	2803	Tetra-Propylbenzol	$(C_3H_7)_4C_6H_2$	"
III	2726	n-Butylbenzol	$n(C_6H_5)C_6H_5$	"
	2725	i-Butylbenzol	$i(C_6H_5)C_6H_5$	"
	2738	Di-n-Butylbenzol	$n(C_6H_5)_2C_6H_4$	"
	2729	Di-i-Butylbenzol	$i(C_6H_5)_2C_6H_4$	"
	2743	Di-i-Butylbenzol	$i(C_6H_5)_2C_6H_4$	"
	2751	Tri-i-Butylbenzol	$i(C_6H_5)_3C_6H_3$	"
IV	2705	Hexylbenzol	$(C_6H_{13})C_6H_5$	"
	2739	Octylbenzol	$(C_8H_{17})C_6H_5$	"
V	2724	Aethyl-Propylbenzol	$(C_2H_5)(C_3H_7)C_6H_6$	"
	2703	Aethyl-i-Butylbenzol	$(C_2H_5)i(C_6H_5)C_6H_6$	"
VI	2713	Aethyl-di-i-Butylbenzol	$(C_2H_5)_2i(C_6H_5)C_6H_3$	"
VIII	2711	Propyl-n-Butylbenzol	$(C_3H_7)n(C_6H_5)C_6H_6$	"
	2708	Propyl-i-Butylbenzol	$(C_3H_7)i(C_6H_5)C_6H_6$	"
	2719	Propyl-di-n-Butylbenzol	$(C_3H_7)n(C_6H_5)_2C_6H_3$	"
	2720	Propyl-di-i-Butylbenzol	$(C_3H_7)i(C_6H_5)_2C_6H_3$	"
IX	2752	Di-Propyl-di-n-Butylbenzol	$(C_3H_7)_2n(C_6H_5)_2C_6H_2$	"
	2714	Di-Propyl-n-Butylbenzol	$(C_3H_7)_2n(C_6H_5)C_6H_3$	"
	2716	Di-Propyl-i-Butylbenzol	$(C_3H_7)_2i(C_6H_5)C_6H_3$	"
X	2735	n-Butyl-i-Butylbenzol	$n(C_6H_5)i(C_6H_5)C_6H_6$	"
	2741	i-Butyl-n-Butylbenzol	$i(C_6H_5)n(C_6H_5)C_6H_6$	"
	2747	i-Butyl-di-n-Butylbenzol	$i(C_6H_5)_2n(C_6H_5)C_6H_3$	"

# Zusammenstellung

Blatt: 1

Katalysator	Anzahl d. C-Atome	Art der Bindung	Siedeverhalten	Mittl. Siedetemperatur	MOZ	pmo min in ml	tgc
H <sub>2</sub> SO <sub>4</sub>	10	•-6n	170 - 200	195	91,2	9,2	0,759
"	10	•-6i	150 - 200	175	90,4	10,2	1,105
"	14	•-6n	200 - 250	225	92,8	9,1	0,713
"	12	•-6	210 - 215	212,5	86,0	7,1	0,443
"	14	•-8	240 - 250	245	70,0	6,3	0,250
"	11	•-23	140 - 237	188,5	91,9	9,9	1,185
"	12	•-2n	200 - 250	225	89,6	9,0	0,955
C <sub>6</sub> H <sub>6</sub>	14	3-23	220 - 260	240	89,6	8,8	0,544
C <sub>6</sub> H <sub>3</sub>	16	2-6n	230 - 274	252	87,4	7,2	0,389
C <sub>2</sub> C <sub>6</sub> H <sub>3</sub>	13	3-22	200 - 240	220	90,1	8,7	0,889
C <sub>2</sub> C <sub>6</sub> H <sub>3</sub>	14	4n-22	210 - 260	235	87,4	7,9	0,655
C <sub>2</sub> C <sub>6</sub> H <sub>3</sub>	14	6i-22	200 - 250	225	90,6	9,1	0,898
C <sub>2</sub> C <sub>6</sub> H <sub>2</sub>	18	23-6n	260 - 300	280	86,2	6,5	0,481
C <sub>2</sub> C <sub>6</sub> H <sub>2</sub>	18	23-6i	250 - 350	300	85,2	6,2	0,478
C <sub>2</sub> C <sub>6</sub> H <sub>6</sub>	13	•-2n	200 - 267	233,5	93,9	10,3	0,900
C <sub>2</sub> C <sub>6</sub> H <sub>6</sub>	13	•-2i	200 - 230	215	95,0	10,4	1,500
C <sub>2</sub> C <sub>6</sub> H <sub>3</sub>	17	3-6n	250 - 300	275	89,8	7,8	0,597
C <sub>2</sub> C <sub>6</sub> H <sub>3</sub>	17	6i-6i	220 - 280	250	89,4	7,2	0,540
C <sub>2</sub> C <sub>6</sub> H <sub>3</sub>	16	6i-23	250 - 300	275	89,9	7,3	0,549
C <sub>2</sub> C <sub>6</sub> H <sub>3</sub>	16	6i-23	220 - 280	250	92,3	8,3	1,106
C <sub>2</sub> C <sub>6</sub> H <sub>6</sub>	14	•-6i	220 - 260	240	92,6	9,8	0,773
C <sub>2</sub> C <sub>6</sub> H <sub>6</sub>	14	•-6n	210 - 250	230	92,3	8,6	0,818
C <sub>2</sub> C <sub>6</sub> H <sub>3</sub>	18	6i-6n	250 - 305	277,5	89,6	7,2	0,390
C <sub>2</sub> C <sub>6</sub> H <sub>3</sub>	18	6n-6i	240 - 300	270	88,5	7,6	0,562
AlCl <sub>3</sub>	8	•-2	130 - 140	135	90,0	10,4	0,980
"	10	•-2	170 - 182	175	92,2	10,8	0,881
"	12	2-22	210 - 220	215	89,0	8,1	0,570
"	14	22-22	220 - 280	250	82,8	7,3	0,333
"	14	22-32	280 - 320	300	81,0	6,1	0,406
"	14	22-22	190 - 320	255	81,9	6,5	0,333
"	9	•-3	155 - 165	160	92,8	10,2	1,168
"	12	•-3	186 - 210	198	94,2	11,1	1,125
"	15	3-23	225 - 230	227,5	98,3	12,8	1,000
"	15	3-23	230 - 240	235	96,8	11,7	1,138
"	18	33-23	260 - 280	270	93,6	9,7	0,983
5.	10	•-6n	170 - 175	172,5	90,8	9,5	1,150
5.	10	•-6i	165 - 185	175	92,1	9,4	1,284
6.	16	•-6n	220 - 260	240	94,2	9,3	1,024
6.	14	•-6i	200 - 240	220	88,0	8,6	0,889
4.	14	•-6i	240 - 280	260	84,5	7,3	0,447
3.	18	6i-6i	280 - 320	300	83,0	8,3	0,267
"	12	•-6	200 - 220	210	86,5	6,8	0,421
"	14	•-8	230 - 250	260	75,2	5,0	0,360
C <sub>6</sub> H <sub>4</sub>	11	•-23	150 - 230	190	94,2	10,4	1,790
C <sub>6</sub> H <sub>4</sub>	12	•-2-6i	160 - 200	180	90,8	9,0	1,078
C <sub>6</sub> H <sub>3</sub>	16	6i-26i	180 - 260	210	90,6	9,6	1,309
C <sub>6</sub> H <sub>4</sub>	13	•-26n	200 - 255	227,5	93,6	10,4	0,863
C <sub>6</sub> H <sub>4</sub>	13	•-26i	170 - 220	195	91,8	8,7	0,745
C <sub>6</sub> H <sub>3</sub>	17	3-6n	155 - 266	210,5	95,4	10,4	0,993
C <sub>6</sub> H <sub>3</sub>	17	3-6i	200 - 270	235	89,0	7,9	0,550
C <sub>2</sub> C <sub>6</sub> H <sub>2</sub>	20	33-6n	195 - 287	261	93,0	8,0	1,032
C <sub>2</sub> C <sub>6</sub> H <sub>3</sub>	16	6n-32	230 - 256	243	96,2	9,9	2,579
C <sub>2</sub> C <sub>6</sub> H <sub>3</sub>	16	6i-33	200 - 270	235	92,3	8,2	1,304
C <sub>2</sub> C <sub>6</sub> H <sub>6</sub>	16	•-6i	220 - 265	242,5	90,1	8,1	0,635
C <sub>2</sub> C <sub>6</sub> H <sub>6</sub>	16	•-6n	220 - 270	245	91,8	8,9	0,756
C <sub>2</sub> C <sub>6</sub> H <sub>3</sub>	18	4i-6n	250 - 305	277,5	90,9	5,3	0,200

9190

## Klopfgrenzkurven nach dem Überladeverfahren

Motormuster: BMW 132 N

Verdichtungsverhältnis: 1:6.5

Motornummer:

Ladelufttemperatur: 130 °C

Versuchstag: 30.9.42

Zündzeitpunkt: 30 °v. o. T.

1. Prüfkraftstoff: Prg. Nr. 1 Br. 2753Versuch Nr.: 141

2. Prüfkraftstoff: " 2 " 2754

Versuch Nr.: 142

3. Prüfkraftstoff: " 3 " 2755

Versuch Nr.: 143

4. Prüfkraftstoff: " 6 " 2742

Versuch Nr.: 144

5. " " 7 " 2744

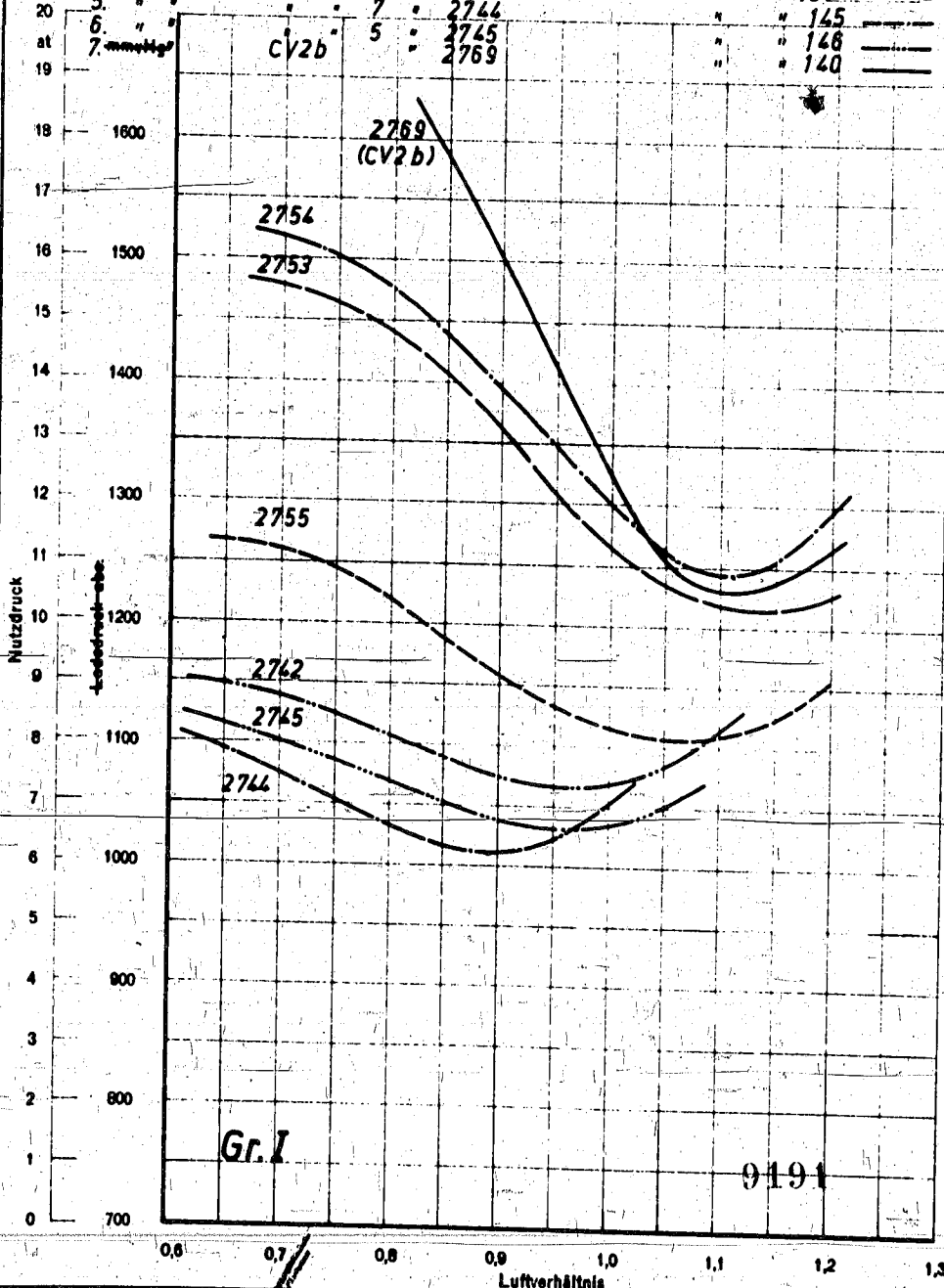
" " 145

6. " " 5 " 2745

" " 146

7. " " 7 " 2769

" " 140



## Klopfgrenzkurven nach dem Überladeverfahren

Motormuster: **BMW 132 N**

Verdichtungsverhältnis: 1:6,5

Motornummer:

Ladelufttemperatur: 130 °C

Versuchstag: 16.10.42

Zündzeitpunkt: 30° v. o. T.

1. Prüfkraftstoff: Prg. Nr. 8 Br. 2756

Versuch Nr.: 189

2. Prüfkraftstoff: " 10 " 2704

Versuch Nr.: 190

3. Prüfkraftstoff: " 1/a " 2757

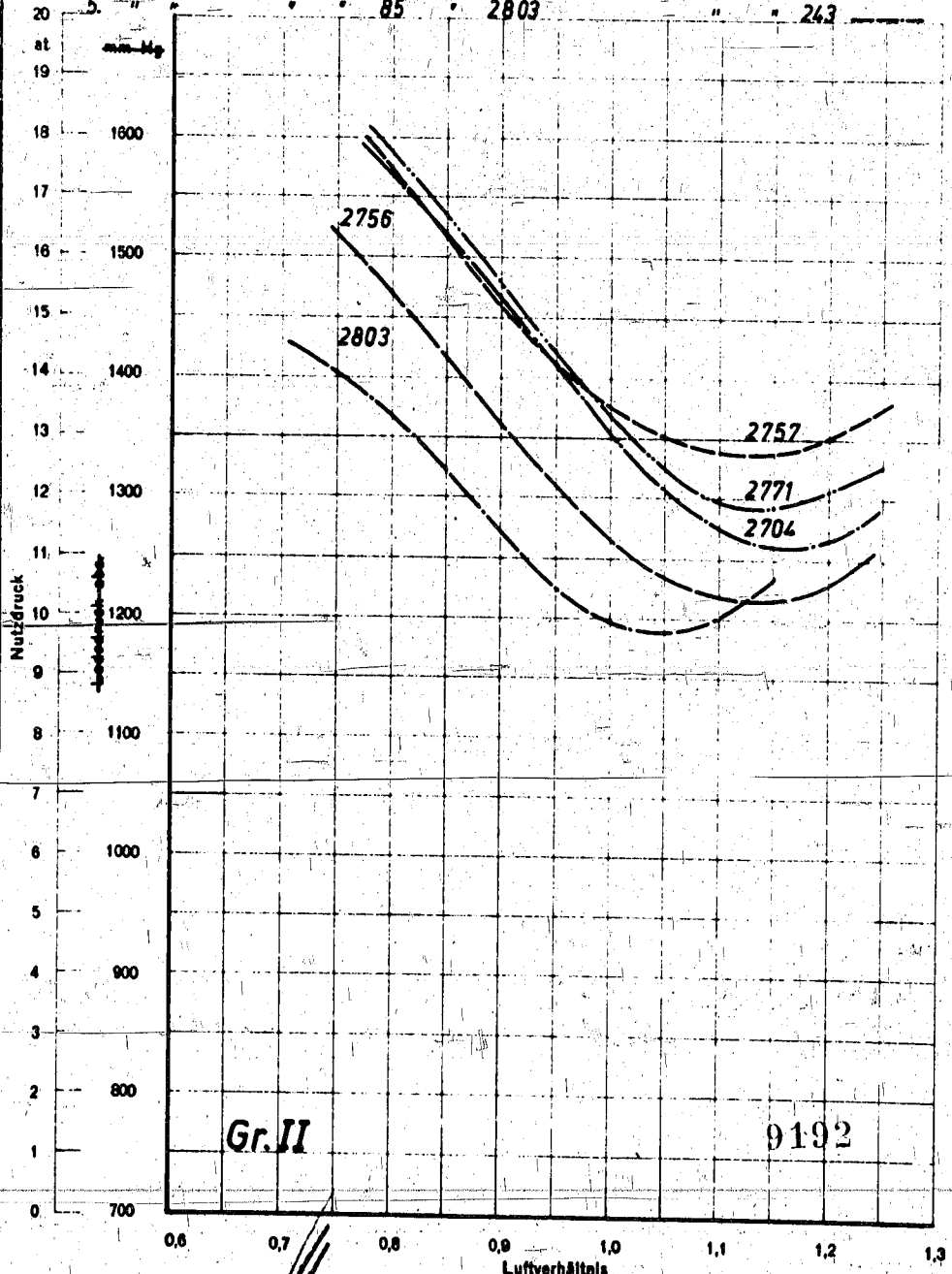
Versuch Nr.: 191

4. Prüfkraftstoff: " 1/b " 2771

Versuch Nr.: 192

5. " " 85 " 2803

" " 243



## Klopfgrenzkurven nach dem Überladeverfahren

Motormuster: **BMW 132 N**

Verdichtungsverhältnis: 1:6,5

Motornummer:

Ladelufttemperatur: 130 °C

Versuchstag: 19.10.42

Zündzeitpunkt: 30 °v. o. T.

1. Prüfkraftstoff: Prg. Nr. 12 Br. 2726

Versuch Nr.: 203

2. Prüfkraftstoff: " 13 " 2727

Versuch Nr.: 204

3. Prüfkraftstoff: " 18 " 2725

Versuch Nr.: 205

4. Prüfkraftstoff: " 19 " 2728

Versuch Nr.: 206

5. " " 15 " 2731

" 207

6. " " 14 " 2738

" 208

7. " " 20 " 2729

" 209

8. " " 20a " 2743

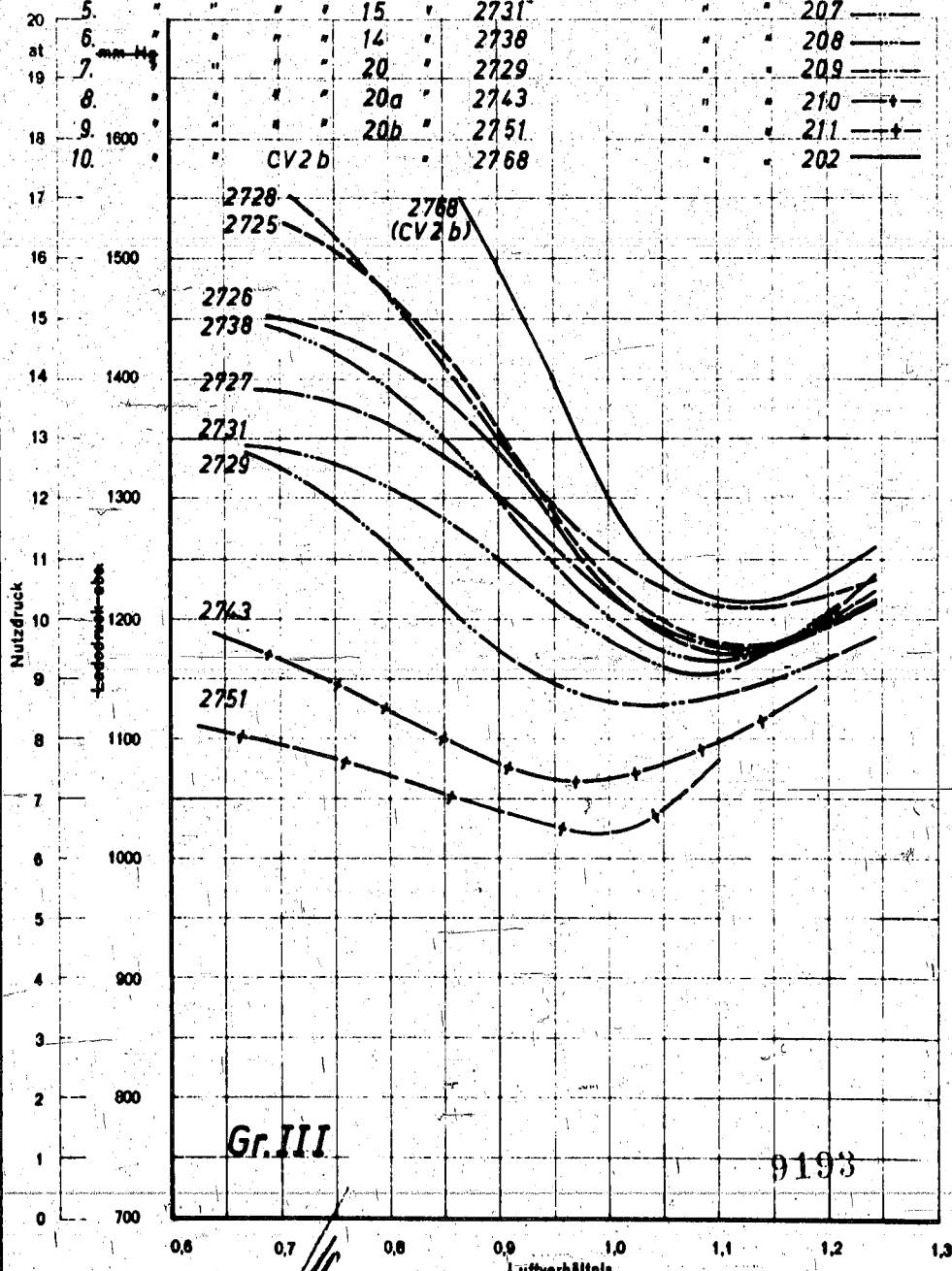
" 210

9. " " 20b " 2751

" 211

10. " CV2b " 2768

" 202



## Klopfgrenzkurven nach dem Überladeverfahren

Motormuster: **BMW 132 N**

Verdichtungsverhältnis: 1 : 6,5

Motornummer:

Ladelufttemperatur: 130 °C

Versuchstag: **18. 10. 42**

Zündzeitpunkt: 30 °v. o. T.

1. Prüfkraftstoff: **Prg. Nr. 69 Br. 2705**Versuch Nr.: **197**

2. Prüfkraftstoff: " 70 2706

Versuch Nr.: **198**

3. Prüfkraftstoff: " 71 2739

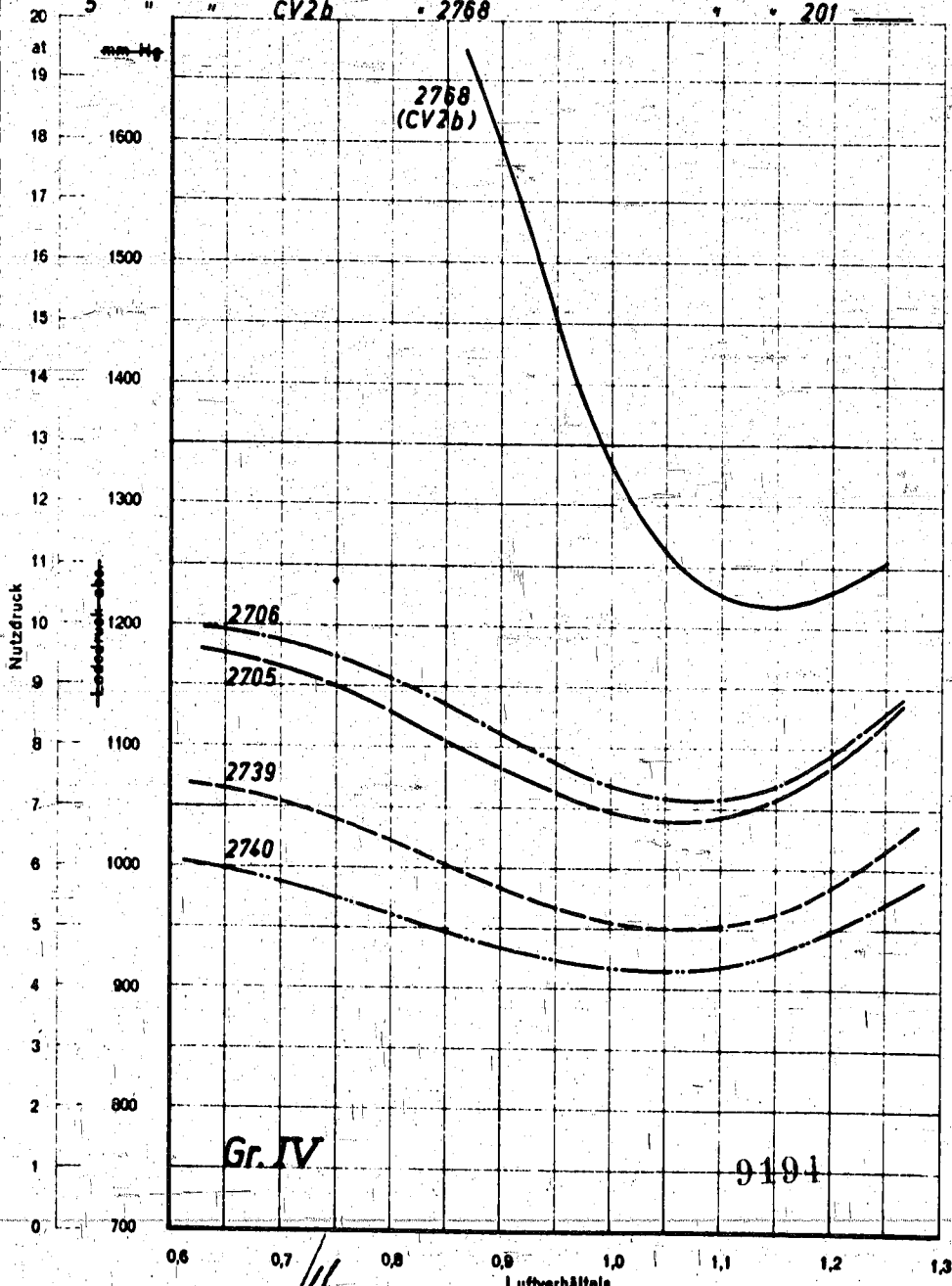
Versuch Nr.: **199**

4. Prüfkraftstoff: " 72 2740

Versuch Nr.: **200**

5. " " 2768

" " 201



## Klopfgrenzkurven nach dem Überladeverfahren

Motormuster: BMW 132 N

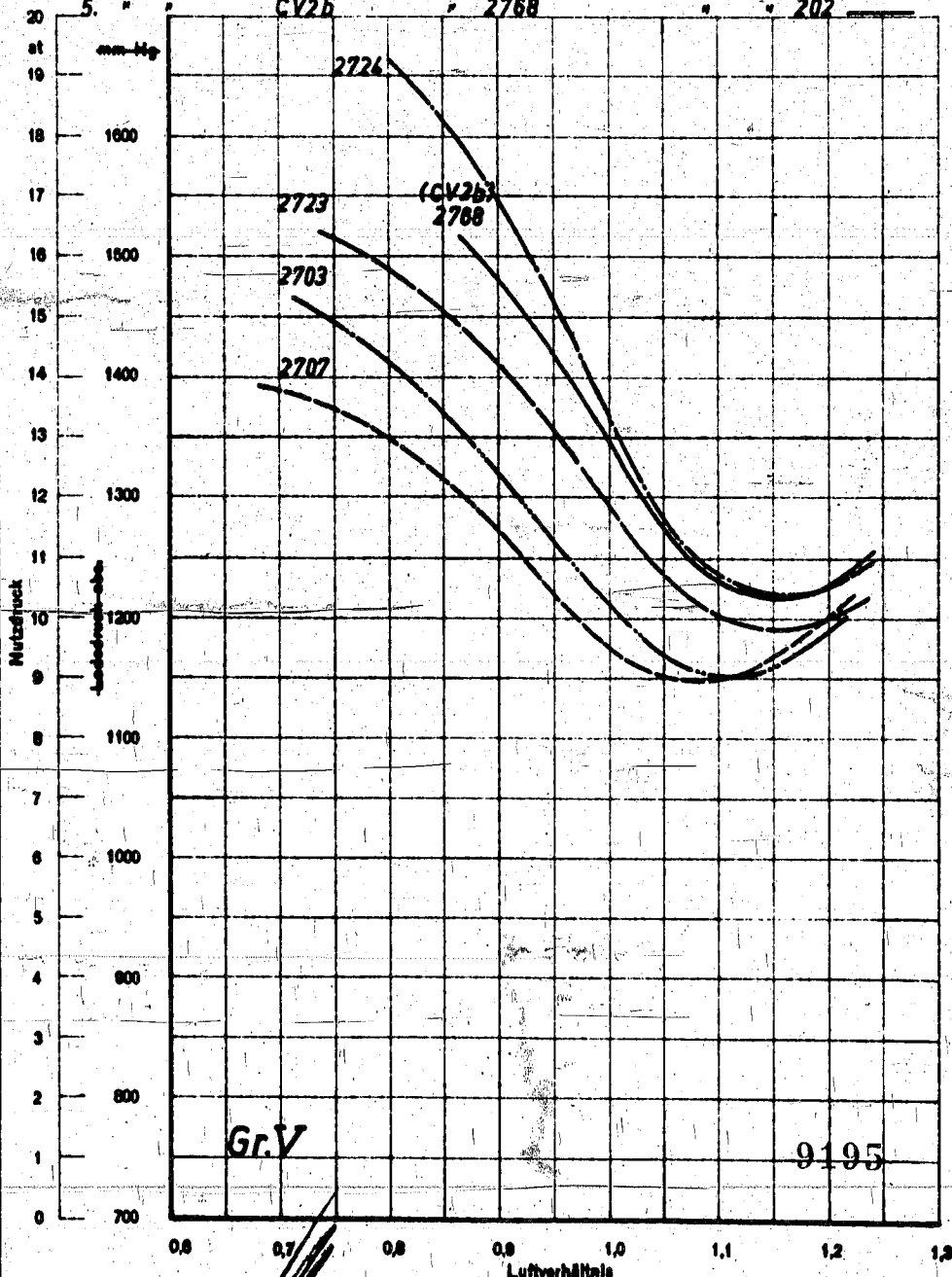
Verdichtungsverhältnis: 1:6,5

Motornummer:

Ladelufttemperatur: 130 °C

Versuchstag: 19. 10. 42

Zündzeitpunkt: 30 °v. o. T.

1. Prüfkraftstoff: Prg. Nr. 25 Br. 2223Versuch Nr.: 2122. Prüfkraftstoff: " " 26 " 2224Versuch Nr.: 2133. Prüfkraftstoff: " " 32a " 2707Versuch Nr.: 2144. Prüfkraftstoff: " " 36 " 2703Versuch Nr.: 2155. " " CV2b " 2768" " 202

## Klopfgrenzkurven nach dem Überladeverfahren

Motormuster: **BMW 132 N**

Verdichtungsverhältnis: 1:6,5

Motornummer:

Ladelufttemperatur: 130 °C

Versuchstag: 17. 10. 42

Zündzeitpunkt: 30 °v. o. T.

1. Prüfkraftstoff: Prg. Nr. 27 Br. 2737

Versuch Nr.: 194

2. Prüfkraftstoff: " 34a " 2715

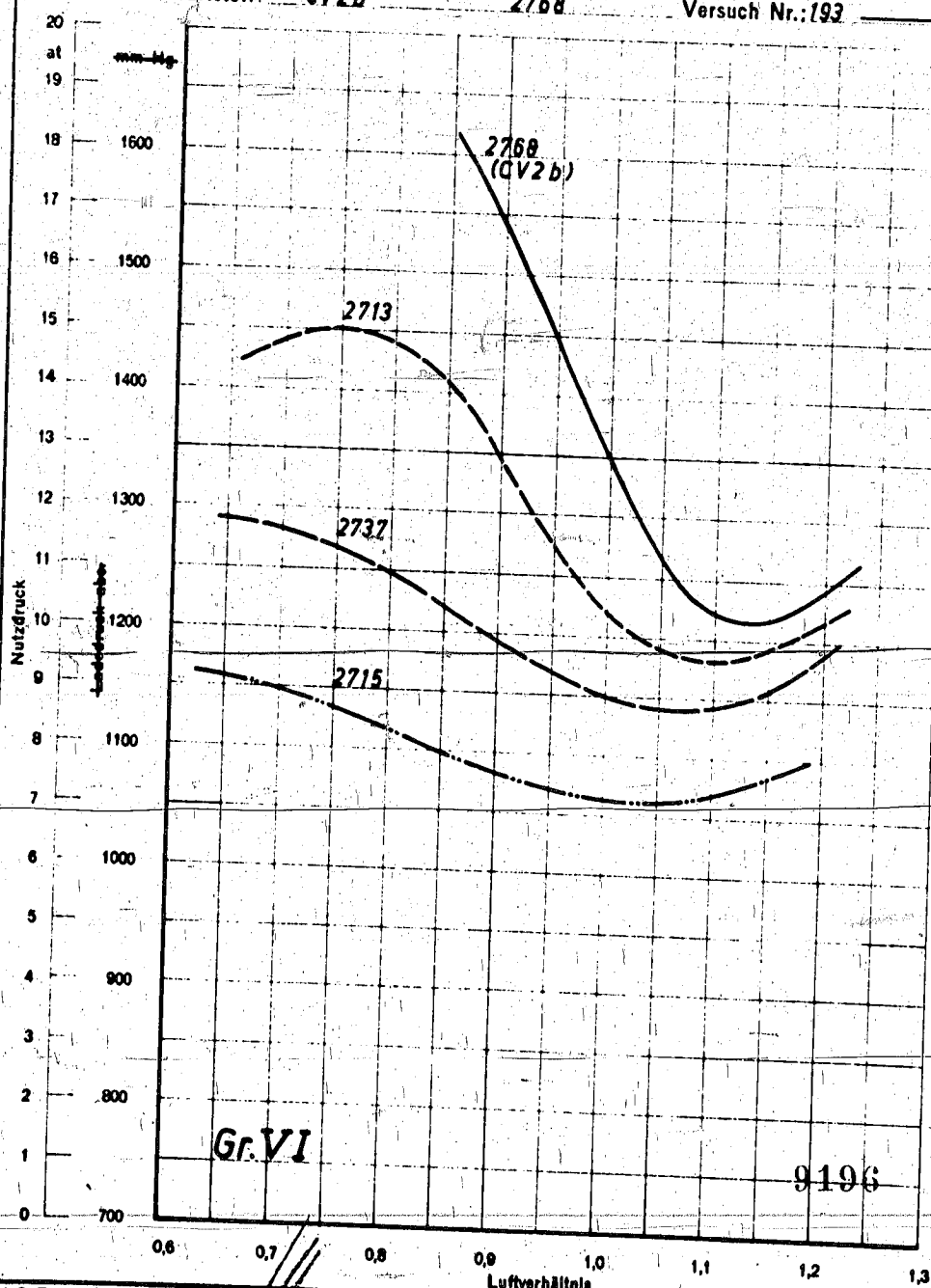
Versuch Nr.: 195

3. Prüfkraftstoff: " 39 " 2713

Versuch Nr.: 196

4. Prüfkraftstoff: CV 2b " 2768

Versuch Nr.: 193



## Klopfgrenzkurven nach dem Überladeverfahren

Motormuster: BMW 132 N

Verdichtungsverhältnis: 1:6,5

Motornummer:

Ladelufttemperatur: 130 °C

Versuchstag: 20. 10. 42

Zündzeitpunkt: 30 °v. o. T.

1. Prüfkraftstoff: Prg. Nr. 42 Br. 2710Versuch Nr.: 217

2. Prüfkraftstoff: " 48 2736

Versuch Nr.: 218

3. Prüfkraftstoff: " 50 2730

Versuch Nr.: 219

4. Prüfkraftstoff: " 48 2746

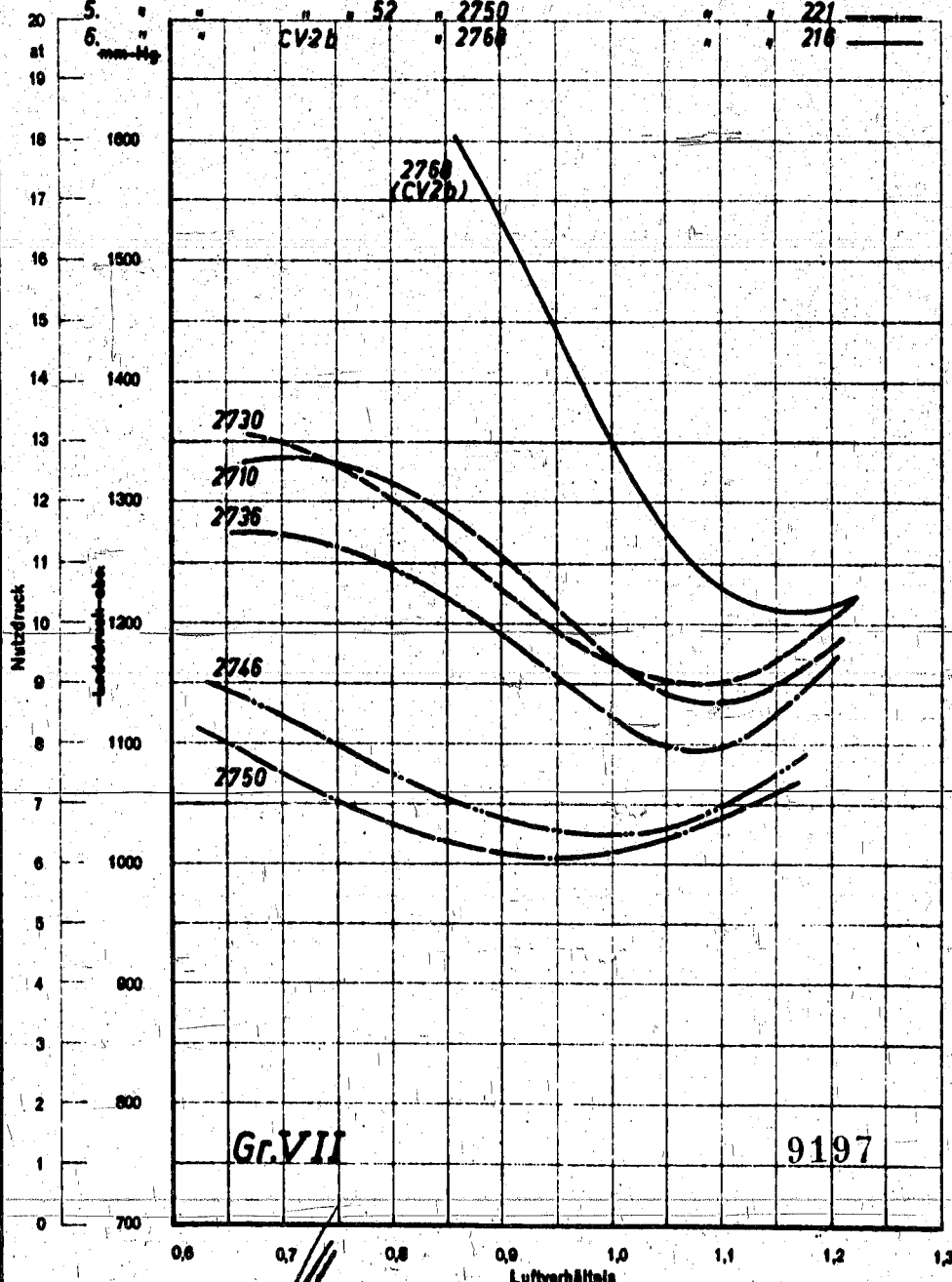
Versuch Nr.: 220

5. " " 52 2750

" " 221

6. " " CV2B 2768

" " 216



## Klopfgrenzkurven nach dem Überladeverfahren

Motormuster: BMW 132 N

Verdichtungsverhältnis: 1:6.5

Motornummer:

Ladelufttemperatur: 130°C

Versuchstag: 22. 10. 42

Zündzeitpunkt: 30°v. o. T.

1. Prüfkraftstoff: Pfg. Nr. 53 Br. 2711

Versuch Nr.: 228

2. Prüfkraftstoff: " 54 " 2712

Versuch Nr.: 229

3. Prüfkraftstoff: " 57 " 2708

Versuch Nr.: 230

4. Prüfkraftstoff: " 58 " 2709

Versuch Nr.: 231

5. " " 55 " 2719

" 232

6. " " 58 " 2722

" 233

7. " " 59 " 2720

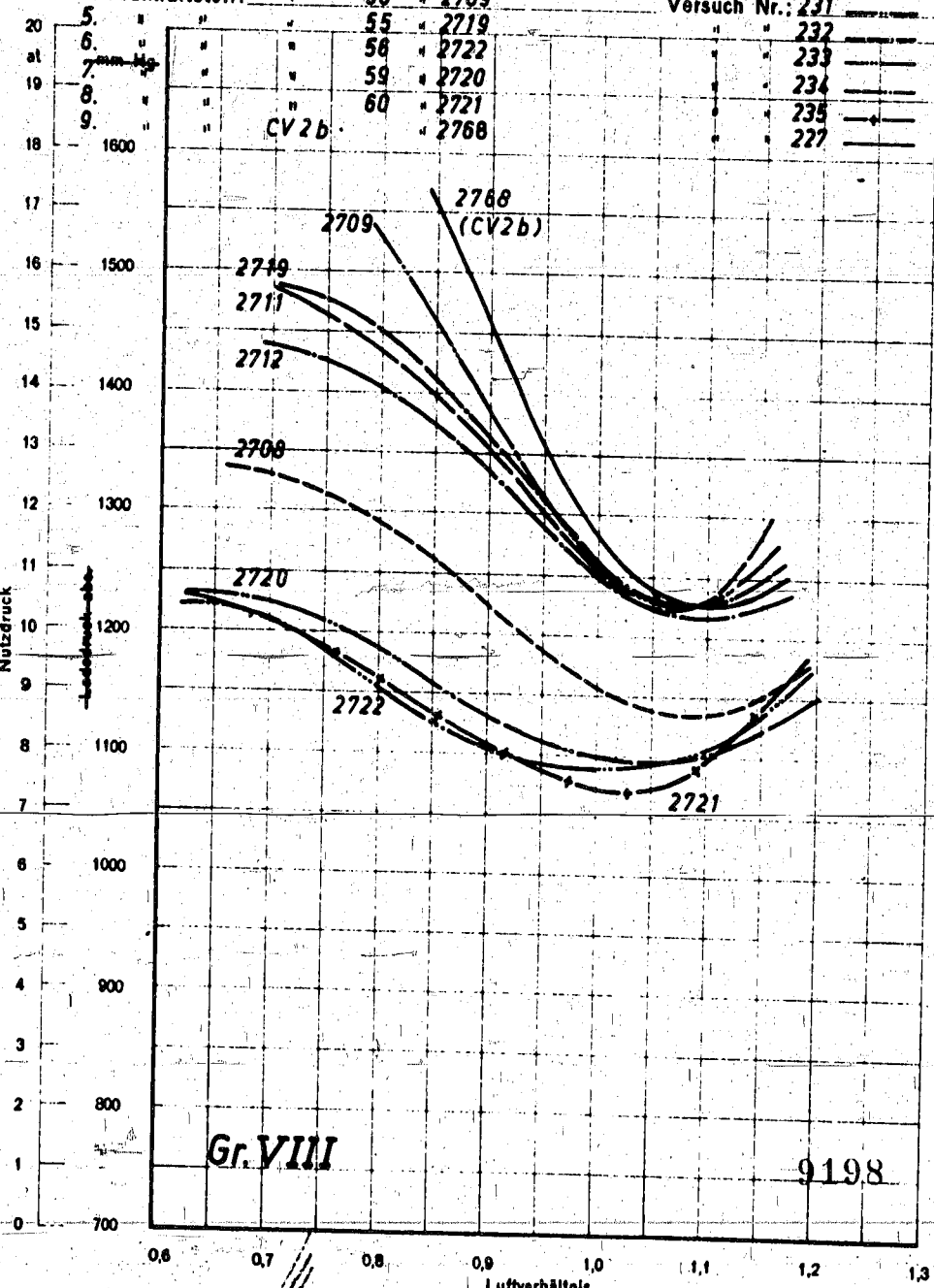
" 234

8. " " 60 " 2721

" 235

9. " " 60 " 2768

" 227



## Klopfgrenzkurven nach dem Überladeverfahren

Motormuster: **BMW 132 N**

Verdichtungsverhältnis: 1:6,5

Motornummer:

Ladelufttemperatur: 130°C

Versuchstag: 20.10.62

Zündzeitpunkt: 30° v. o. T.

1. Prüfkraftstoff: Prg. Nr. 63 Br. 2752

Versuch Nr.: 222

2. Prüfkraftstoff: " 62 " 2718

Versuch Nr.: 223

3. Prüfkraftstoff: " 61 " 2714

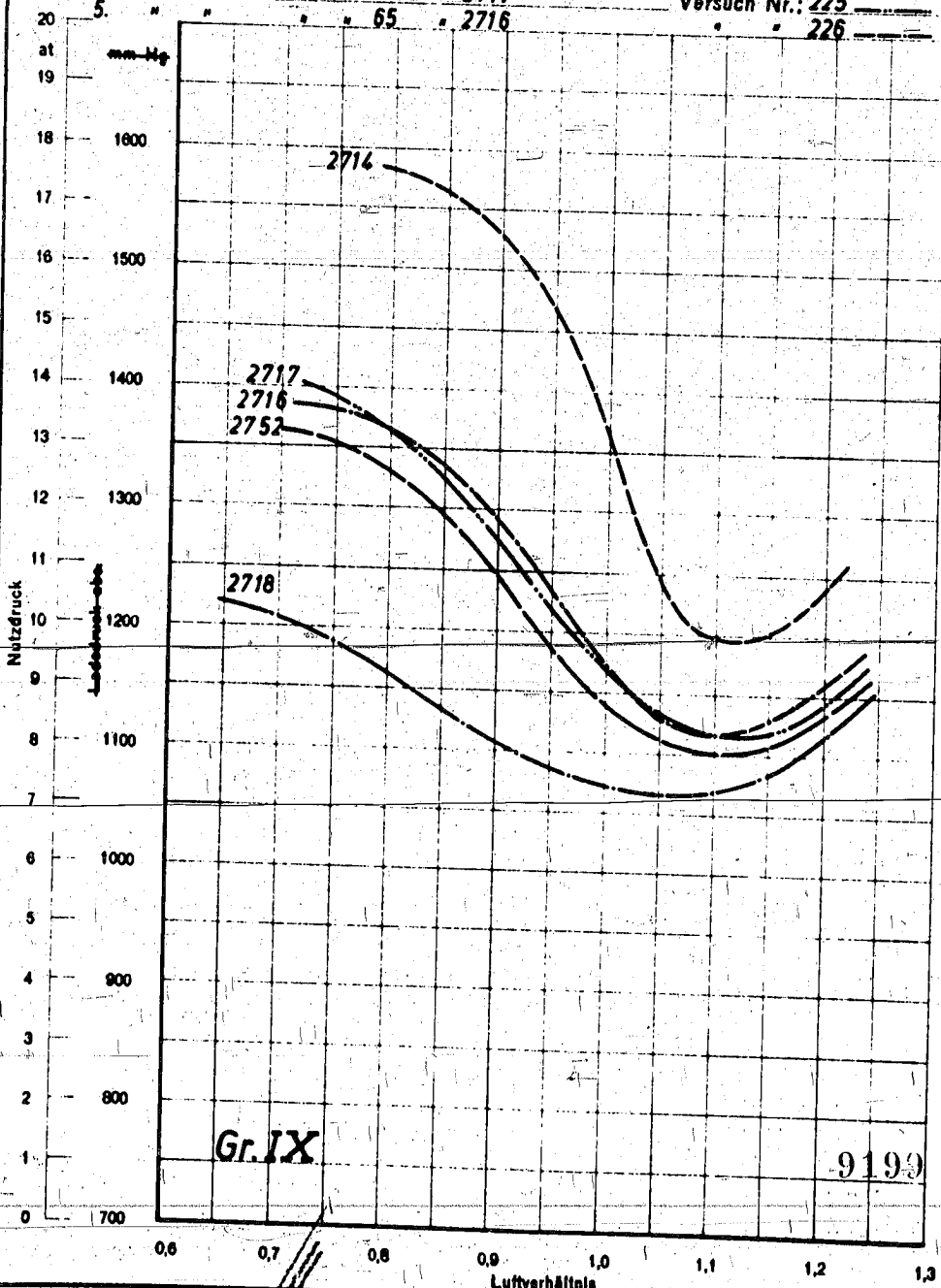
Versuch Nr.: 224

4. Prüfkraftstoff: " 66 " 2717

Versuch Nr.: 225

5. " " " 65 " 2716

" 226



## Klopfgrenzkurven nach dem Überladeverfahren

Motormuster: BMW 132 N

Verdichtungsverhältnis: 1:6,5

Motornummer:

Ladelufttemperatur: 130°C

Versuchstag: 23.10.62

Zündzeitpunkt: 30 v. o. T.

1. Prüfkraftstoff: Prg. Nr. 74 Br. 2734Versuch Nr.: 237

2. Prüfkraftstoff: " 73 " 2735

Versuch Nr.: 238

3. Prüfkraftstoff: " 75 " 2761

Versuch Nr.: 239

4. Prüfkraftstoff: " 76 " 2733

Versuch Nr.: 240

5 " " 78 " 2760

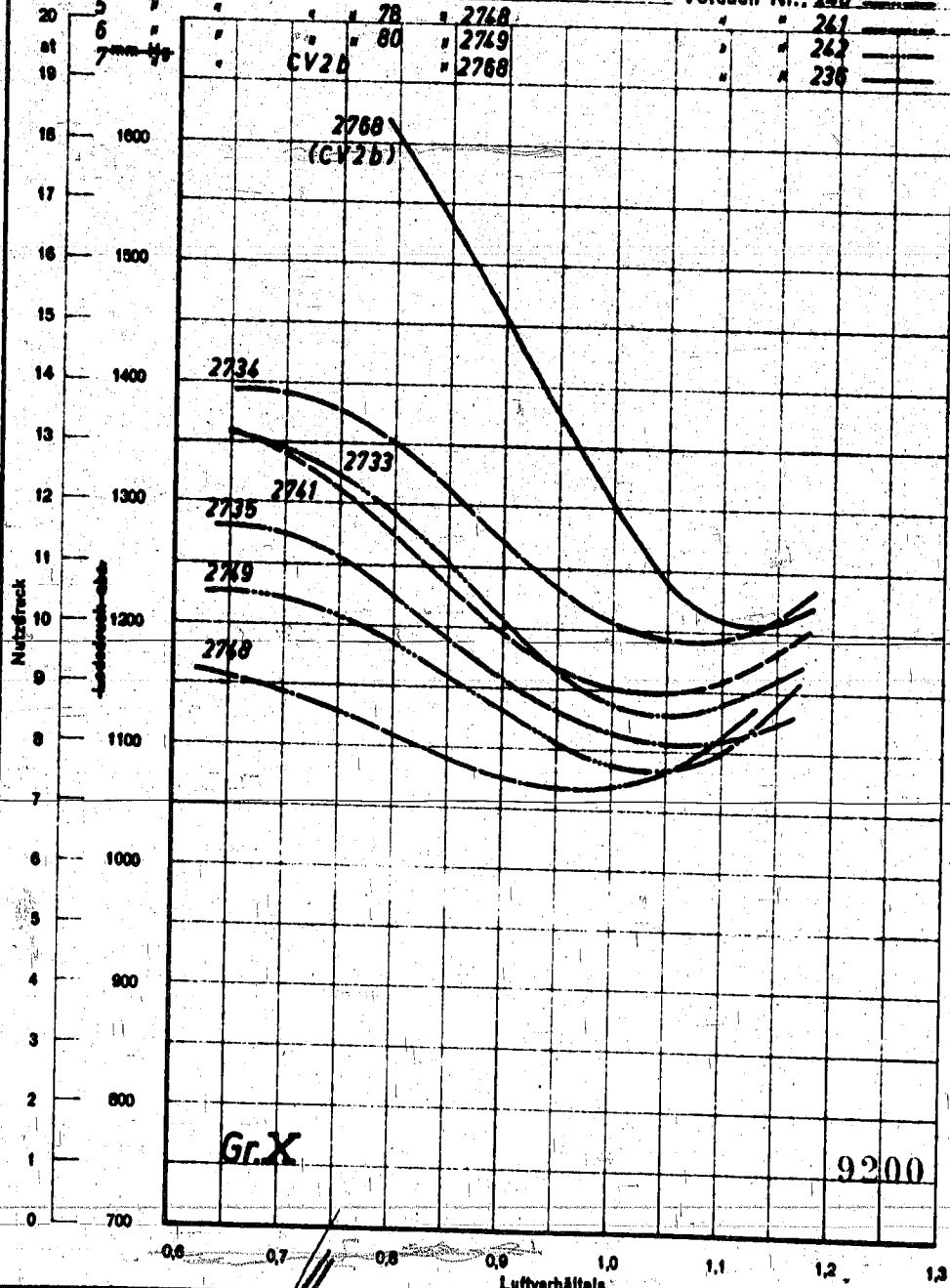
" " 261

6 " " 80 " 2749

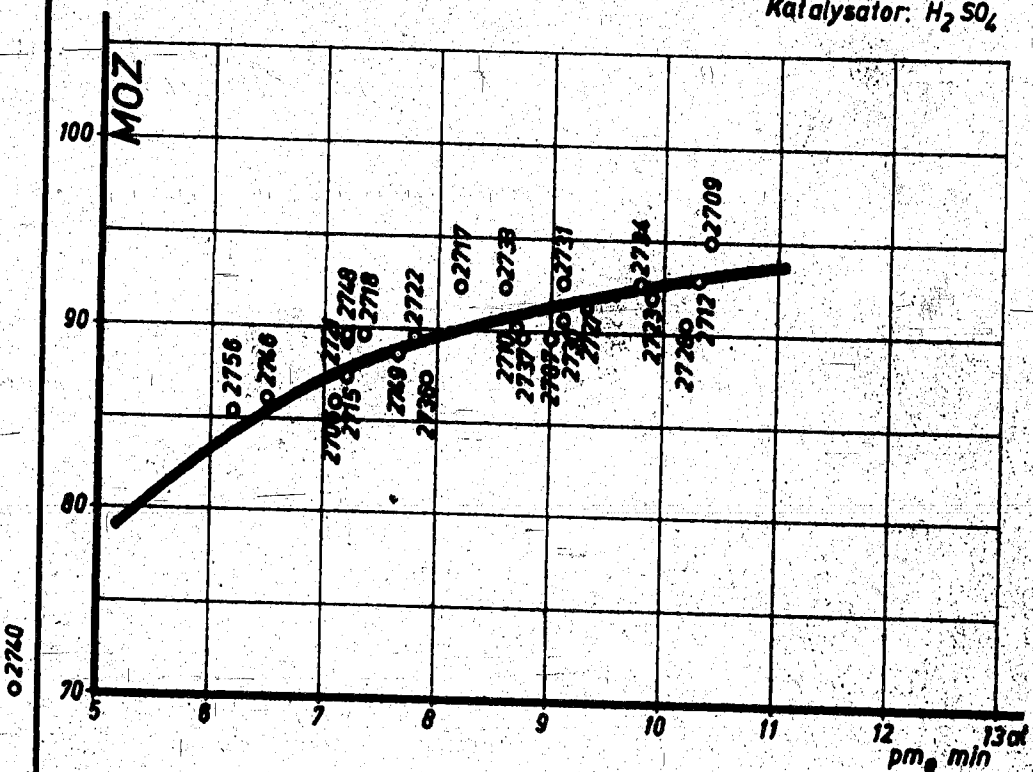
" " 262

7 " " CV20 " 2768

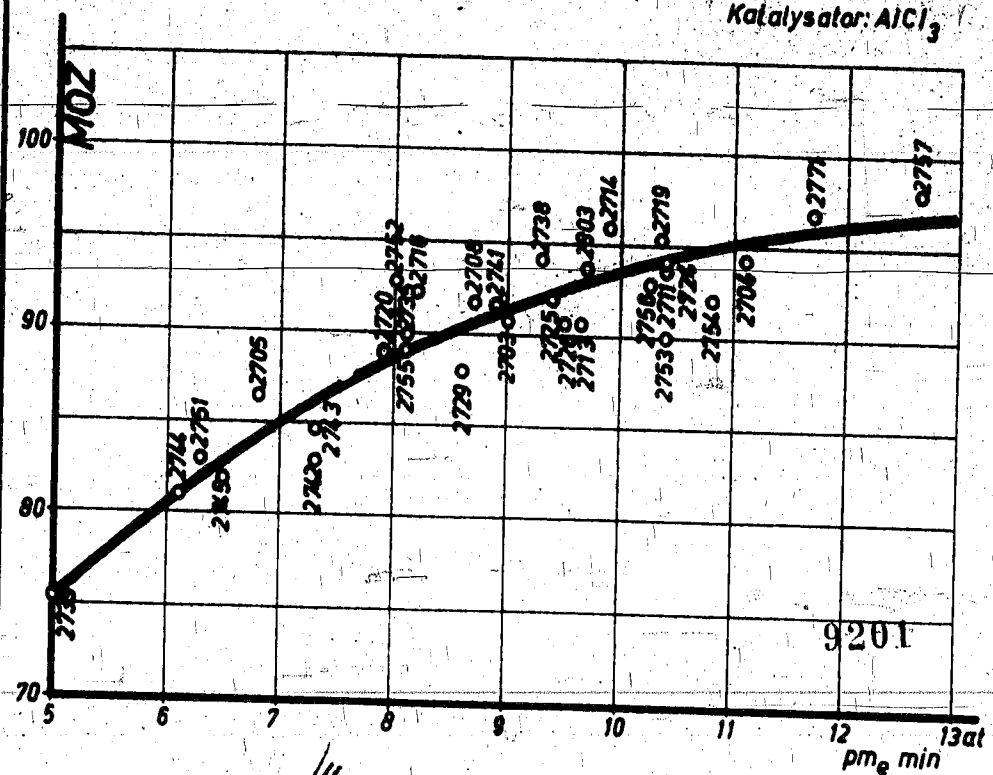
" " 236



Katalysator:  $H_2SO_4$



Katalysator:  $AlCl_3$



# Alkyl-Benzole

Katalysator:  $A/C_3$

Techn. Prüfstand Nutzdruck pme min  
Oppau

Zeitentwickelung

Benzol

Mono-Alkyt-B.

Di-Alkyt-B.

Tri-Alkyt-B.

Tetra-Alkyt-B.

Mono Propyl-

Mono Vinyl-

analog Allyl-B.

Di-Propyl-B.

Di-Vinyl-B.

Tri-Vinyl-B.

Tetra-Vinyl-B.

Mono Propene-

Mono Vinylene-

analog Allyene-B.

Di-Propene-

Di-Vinylene-

Tetra-Vinylene-B.

Mono Propenyl-

Mono Vinylenyl-

Dihydro-Benzo-

Blatt: 13

Atom 4 C-Atome in Mol

Atom 5 C-Atome in Mol

Atom 6 C-Atome in Mol

Atom 7 C-Atome in Mol

Atom 8 C-Atome in Mol

Atom 9 C-Atome in Mol

Atom 10 C-Atome in Mol

Atom 11 C-Atome in Mol

Min. 1500 bar

9202

30

**Alkyl-Benzole**  
Katalysator  $AlCl_3$

Blatt 14

Techn. Ausrüstung  
Oppau

Nutzdruck pm. min  
at

10  
11  
12

Anzahl d. C-Atome im Mol

18  
17  
16  
15  
14  
13  
12

Min. Spülzeit  
PC

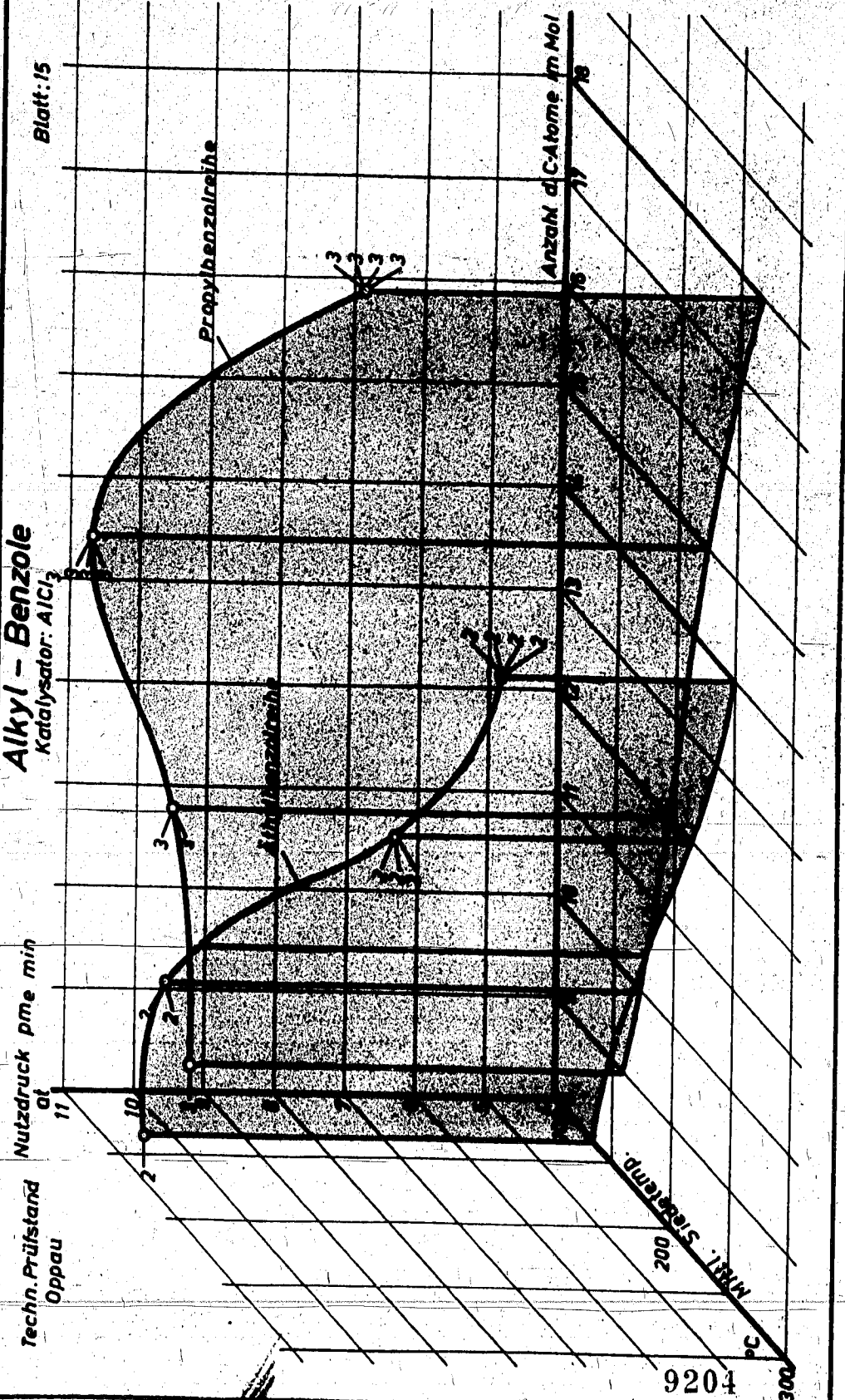
9203

300

# Alkyl - Benzoole

Katalysator:  $\text{AlCl}_3$

Blatt: 15



Blatt: 16

Alkyl - Benzole  
Katalysator: AlC<sub>3</sub>

Nutzdruck pme min  
at

Techn. Prüfstand  
Oppau

Äthyl -  
Propyl - Isobutyl -  
Butyl -

Isobutylbenzolreihe

Anzahl d C-Atome im Mol

18  
17  
16

6*i*

6*j*

6*k*

100  
80

200  
150

PC

9205

300

**Alkyl - Benzole**  
Katalysator:  $H_2SO_4$

Techn. Prüfstand Nutzdruck pm min  
Oppau gf

Mol

Anzahl d. CAtome im Mol

18

17

16

15

14

13

12

11

10

9

8

7

6

5

4

3

2

1

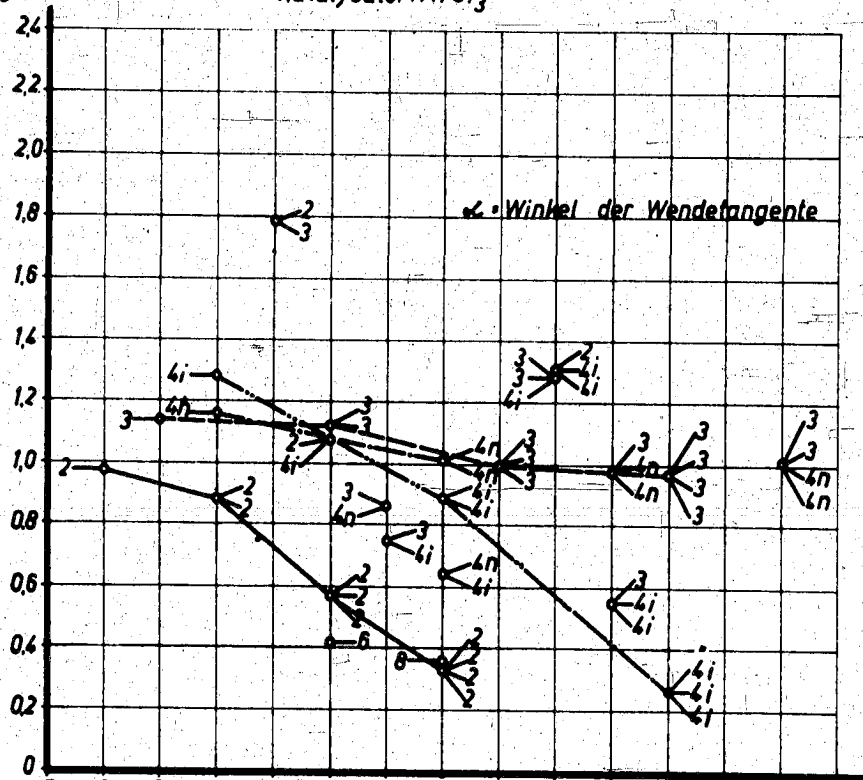
0

200 500  
MWh  
Siedetemperatur

9206

300

## Alkyl-Benzole

Katalysator:  $AlCl_3$ 

Anzahl d. C-Atome im Mol

